

東北大学	正員	多谷虎男
東北大学	学生員	穂山和男
東北大学	学生員	○佐々木和男

1. まえがき 振動解析法としては、構造物を要素に分割して解析する手法が多く用いられてきた。本研究はそのような手法によらず、変断面三径間連続桁を連続体として解析したものである。

2. 機械性波の位相速度曲線 丸棒中に円柱座標 (r, θ, z) を取り、スカラーポテンシャル中、ベクトルポテンシャル Ψ を次のように仮定する。

$$\Phi = U_0(r) \cos \theta \exp[i(\gamma z - pt)] \quad (1)$$

$$\Psi = \begin{cases} U(r) \sin \theta \\ V(r) \cos \theta \\ W(r) \sin \theta \end{cases} \exp[i(\gamma z - pt)] \quad (2)$$

$$\operatorname{div} \Psi = 0 \quad (3)$$

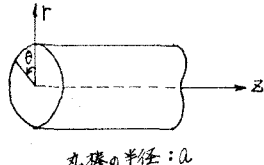
丸棒の半径: a

図.1

上式(1), (2)をナビエの運動方程式に代入し(3)式を用いれば、変位場 U は次式になる。

$$\begin{aligned} U = \begin{cases} U_r \\ U_\theta \\ U_z \end{cases} &= \left\{ \begin{array}{l} [\zeta J'_1(kr) + \gamma \gamma J'_1(kr) + \zeta J_1(kr)] \cos \theta \\ [-\zeta J_1(kr) - \gamma \gamma J_1(kr) - \zeta J'_1(kr)] \sin \theta \\ [\zeta \gamma J_1(kr) - \gamma \gamma k^2 J_1(kr)] \cos \theta \end{array} \right\} \exp[i(\gamma z - pt)] \quad (4) \end{aligned}$$

$$\text{ここに, } \zeta = \sqrt{\gamma^2 - k^2}, \quad k = \sqrt{\gamma^2 - \gamma^2}, \quad \gamma = -\frac{Bk}{k^2}, \quad \zeta = \frac{C}{\gamma^2 - \gamma^2}, \quad \gamma = \frac{P}{C} \\ \gamma_1 = \frac{P}{C_1}, \quad C_1^2 = \frac{2G}{P} \left(\frac{1-\nu}{1-2\nu} \right), \quad \gamma_2 = \frac{P}{C_2}, \quad C_2^2 = \frac{G}{f}, \quad A, B, C : \text{定数}$$

この変位場 U に、丸棒の表面での境界条件式; $[U_{rr}]_{r=a}=0, [U_{rz}]_{r=a}=0, [U_{zz}]_{r=a}=0$ を適用すれば、次式を得る。

$$\left| \begin{array}{l} \{ J''(ka) - \frac{1}{a^2} (J_2^2 - 2J_2^2) J_1(ka) \} - \{ J''(ka) + k^2 J_1(ka) \} \\ 2 \{ J_1''(ka) + P J_1(ka) \} - \{ 2J_1''(ka) + k^2 J_1(ka) \} \\ 2 J_1'(ka) \end{array} \right| = 0 \quad (5)$$

$$\frac{1}{a^2} J_1'(ka)$$

上式を, $(\frac{a}{\lambda}) \sim (\frac{c}{\lambda})$ について解けば、図2の曲線になる。この曲線が機械性波の位相速度曲線(厳密解)である。

3. 橫振動のモード曲線 図3に示された変断面三径間連続桁について解析する。一般的端条件の下の半方向変位は、次式で表められる。(連続桁はかなり細長いと仮定して理論を進める。)

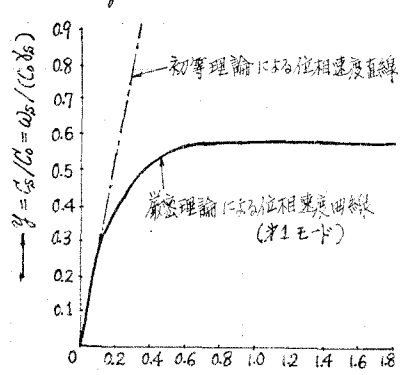
$$Y = \{ C_1 \cos(\beta z) + C_2 \sin(\beta z) + C_3 \cosh(\beta z) \\ + C_4 \sinh(\beta z) \} \sin(pt + \varphi) \quad (6)$$

ここに, C_1, C_2, C_3, C_4 : 定数

図3の連続桁は左右対称であるから、桁の中央断面に関して、縦対称はモード曲線と点対称はモード曲線が存在しうると考えられる。従って、正規関数 Y_1, Y_2, Y_3, Y_4 を次のように設定する。

(1). 縦対称モードの場合

$$\left\{ \begin{array}{l} Y_1 = a_1 \cos(\beta z) + a_2 \sin(\beta z) + a_3 \cosh(\beta z) + a_4 \sinh(\beta z) \\ Y_2 = b_1 \cos(\beta z) + b_2 \sin(\beta z) + b_3 \cosh(\beta z) + b_4 \sinh(\beta z) \end{array} \right.$$



$$C_0 = \sqrt{E/F} \quad \omega_0: \text{自然角振動数}$$

a : 棒の断面の回転半径

図2. 機械性波の位相速度曲線 (第1モード)

$$(Y_3(z_3) = Y_1(z_1), Y_4(z_4) = Y_1(z_1))$$

(ii). 点対称モードの場合

$$\begin{cases} Y_1 = C_1 \cos(k_1 z) + C_2 \sin(k_1 z) + C_3 \cosh(k_1 z) + C_4 \sinh(k_1 z) \\ Y_2 = d_1 \cos(k_1 z) + d_2 \sin(k_1 z) + d_3 \cosh(k_1 z) + d_4 \sinh(k_1 z) \\ Y_3(z_3) = -Y_2(z_2), Y_4(z_4) = -Y_2(z_2) \end{cases}$$

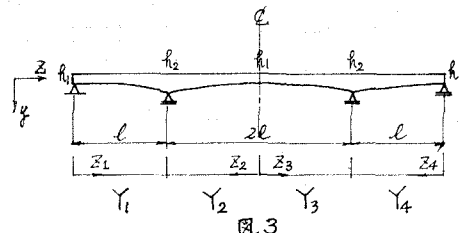


図.3

(i), (ii)について、各々境界条件を適用すれば、支承上での Y_s ($s=1, 2, \dots$) の値と、各々に対応する係数比が求まる。更に、位相速度曲線を用いて各断面での \dot{Y} の値を求め、これららの値を正規化数 Y_1, Y_2, Y_3, Y_4 に代入すれば、振動のモード曲線が得られる。

4. 固有振動数 ラグランジエ方程式を用いて固有振動数を求める。自由振動の場合、ラグランジエ方程式は次式である。

$$b_{rs} \ddot{y}_s + 2\zeta b_{rs} \dot{y}_s + K_{rs} y_s = 0 \quad (7)$$

ここで、 r, s : 横振動のモード番号 y_s : 第 s 次モードの時間項

ζ : 内部摩擦による減衰係数 b_{rs} : 運動エネルギーに関する量 K_{rs} : りずみエネルギーに関する量

図4の曲線 1 に対応する b_{rs}, K_{rs} の式を正確に誘導することは非常に煩雑ばかりで、図4の直線上に対応する式を求め、その K_{rs} に低減率: $[Y_1(x_s)/Y_0(x_s)] \{ Y_1(x_r)/Y_0(x_r) \}$ を掛けた。すなむち、次式によって b_{rs}, K_{rs} を計算する。

$$b_{rs} = \rho \int_0^L A Y_r Y_s \, dz \quad (8)$$

$$K_{rs} = E \int_0^L I \frac{Y_1(x_r)}{Y_0(x_r)} \frac{Y_1(x_s)}{Y_0(x_s)} \left\{ \frac{d^2 Y_r}{dz^2} \right\} \left\{ \frac{d^2 Y_s}{dz^2} \right\} \, dz \quad (9)$$

$y_s = \bar{A}_s \sin p(x_B t)$ と置き、(7) 式に代入すれば、次の振動方程式を得る。

$$\Delta(p) = \begin{vmatrix} (-p^2 b_{11} + 2i\zeta b_{11} + K_{11}) & (-p^2 b_{12} + 2i\zeta p b_{12} + K_{12}) & \cdots & (-p^2 b_{1n} + 2i\zeta p b_{1n} + K_{1n}) \\ (-p^2 b_{21} + 2i\zeta b_{21} + K_{21}) & (-p^2 b_{22} + 2i\zeta p b_{22} + K_{22}) & \cdots & (-p^2 b_{2n} + 2i\zeta p b_{2n} + K_{2n}) \\ \vdots & \vdots & \ddots & \vdots \\ (-p^2 b_{n1} + 2i\zeta b_{n1} + K_{n1}) & (-p^2 b_{n2} + 2i\zeta p b_{n2} + K_{n2}) & \cdots & (-p^2 b_{nn} + 2i\zeta p b_{nn} + K_{nn}) \end{vmatrix} = 0 \quad (10)$$

固有振動数 p_s ($s=1, 2, \dots$) は上式から求まる。

5. 計算および実験 図3において、 $l = 2.5 \text{ cm}$, $h_1 = 1.0 \text{ cm}$, $h_2 = 1.5 \text{ cm}$, 幅 1.0 cm の場合について、計算ならびに実験を行った。結果は講演時に発表する。

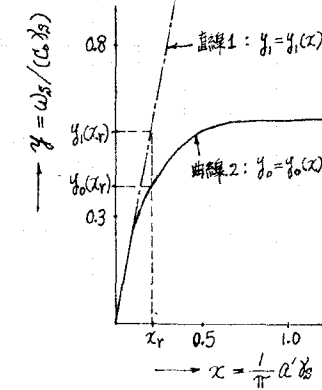


図.4

直線1: 初等理論による位相速度直線
曲線2: 精密理論による位相速度曲線
(P1モード)

参考文献 1). Tora. Taya ; Tensor Wave Theory in Solid Elastic Body of Three Dimension, Part 5, Part 6, Part 7, 東北大学工学報告 Vol 39, No 1 (1974), Vol 39, No 2 (1974), Vol 40, No 1 (1975) 2). Y. C. Fan; 固体の力学, 増進館 3). デモシェンコ; 工業振動学, 東京図書